

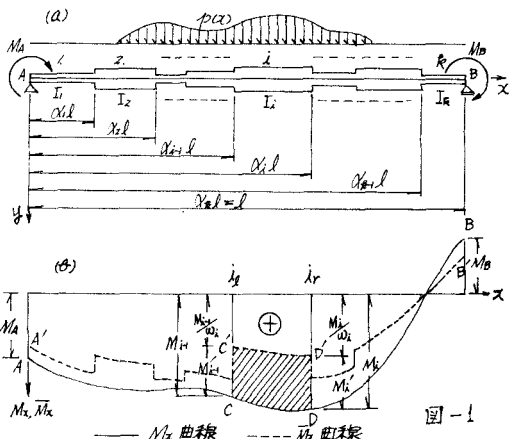
九十九工部  
K. K. 工部  
九十九工部

正員  
山崎徳史  
坂田静雄  
〇齊木武

1. 緒言 鋼筋コンクリート構造におけるハンチング鋼桁におけるフランジ厚の変化、柱と柱とが結合する節点近傍の剛域など断面ニセモーメントが部材全長にわたる一定の骨組構造物が多く見受けられ、かつて構造物の解法に関する多くの研究が行なわれました。しかし、これら既往の研究は部材断面、変形と剛域の問題とが別々の観点にて処理されており、また断面変化が特定の式で表わされる場合に関するものが大多数である。これらに対し、本研究は先に著者らが文献(1)、(2)で報告したフーリエ級数による骨組構造の解法を拡張応用し、任意垂直荷重が作用する場合について剛域も考慮した階段状変断面骨組構造の厳密解法ならびに任意形状変断面骨組構造の近似解法を提案し、直接的にはかくの骨組構造および断面骨組とからなる一体構造物の解析ならびに設計に、また、簡略的には変厚矩形板および変厚無深板の解法に資するものである。

2. 基本式 図-1(a)に示すごとく、階段状変断面ばかりに任意垂直荷重  $p(x)$  および端モーメント  $M_a, M_b$ 、端が作用するものとする(保荷重)。また階段状に変化するばかりの断面ニセモーメントは全体を  $R$  区間に分割され、各区间  $1, 2, \dots, i, \dots, k$  の断面ニセモーメントをそれぞれ  $I_1, I_2, \dots, I_i, \dots, I_k$  とし、これらと標準断面ニセモーメント  $I_0$  との比を  $\omega_1, \omega_2, \dots, \omega_i, \dots, \omega_k$  とする。つまり上の  $i$  区間の任意荷重ににおけるたれせりと曲げモーメント  $M_x$  との関係は周知のごとく次式によって表わされる。  

$$\frac{d^2y}{dx^2} = -\frac{M_x}{EI_i} = -\frac{p(x)}{EI_i} \quad (\text{ただし}, M_x = M_{\omega_i}) \quad \dots (1)$$



筋を更めるスラストの曲げモーメントと考えれば、式(1)はスラストのためだけに断面ニセモーメント  $I_0$  と  $i$  に曲げモーメント  $M_x$  が作用する場合の解として与えられることを意味し、このことはつづく詳しく述べて次のとおり取扱い手法が考案される。図-1(b)に示すごとく、断面ばかりのモーメント図が曲線  $A'CD'B'$  とされ、換算すれば、 $i$  区間の  $M_x$ -曲線  $C'D'$  は  $i$  に  $M_x$ -曲線  $C'D'$  から図-1(b)の斜線部  $CC'D'D$  を差引いたものである。したがって、斜線部  $CC'D'D$  を負のモーメント図とし、 $i$  に  $M_x$  と  $i$  に適当な荷重状態(補助荷重)をあめれば、図-1(a)の階段状変断面ばかりを解くことは保荷重と補助荷重が同時に作用する断面ニセモーメント  $I_0$  の等断面ばかり(置換ばかり)を解くこととなる。

(1) 補助荷重の決定 保荷重のうち  $\rho(x)$  を正弦フーリエ級数に展開すれば、 $i$  に  $i$  の任意荷重  $p(x)$  における曲げモーメント  $M_x$  は次式によって与えられる(文献(3)参照)。

$$M_x = M_a - (M_a + M_b) \frac{x}{L} + \sum_{n=1}^{\infty} \left( \frac{2}{n\pi} \int_0^L p(x) \sin \frac{n\pi x}{L} dx \right) \quad \dots (2)$$

ところで、 $i$  区間を一つの単純ばかりと見做し、その負モーメント図が図-1(b)の斜線部  $CC'D'D$  に

より、 $\Delta$  与えられたごとき荷重状態を図-2(a)のごとく想定する。すなれば、 $M_A, M_B$  は支点  $A, B$  に働く端モーメントであり、図-1(b)の  $C C'$  および  $D D'$  で与えられる。また、 $R_i(x)$  は図-1(b)の斜線部  $C D' D$  から、上記  $M_A, M_B$  の影響を差引いた部分 (図-2(b)の斜線部) のモーメントを示すものである。さらに、 $R'_i$  および  $R''_i$  は支点  $i$  および  $i+1$  の支点反力を示し、 $R'_i(x), M_A$  および  $M_B$  の影響が  $i$  区間に及ぶ諸断面力および諸変位におけることの阻止する。以上の考察より、はり上の一区間ににおける各種荷重を求め、その結果のまとめは次の通りである。

$$\text{区间 } (\alpha_i l, \alpha_{i+1} l) \text{ における } R'_i(x) = (1 - \frac{1}{\omega_i}) \sum_{m=1}^{\infty} p_m \sin \frac{m\pi}{l} x$$

$$i\text{ 節点 } (x = \alpha_i l) \text{ における } R'_i = -\frac{1}{l} (1 - \frac{1}{\omega_i}) (M_A + M_B) + (1 - \frac{1}{\omega_i}) \sum_{m=1}^{\infty} p_m \cos m\pi \alpha_i$$

$$M'_A = (1 - \frac{1}{\omega_i}) \{ M_A (1 - \alpha_{i+1}) - M_B \alpha_i \} + (1 - \frac{1}{\omega_i}) \sum_{m=1}^{\infty} p_m \sin m\pi \alpha_{i+1}$$

$$i+1\text{ 節点 } (x = \alpha_{i+1} l) \text{ における } R'_i = \frac{1}{l} (1 - \frac{1}{\omega_i}) (M_A + M_B) - (1 - \frac{1}{\omega_i}) \sum_{m=1}^{\infty} p_m \cos m\pi \alpha_i$$

$$M'_B = (1 - \frac{1}{\omega_i}) \{ M_B (1 - \alpha_{i+1}) - M_A \alpha_i \} + (1 - \frac{1}{\omega_i}) \sum_{m=1}^{\infty} p_m \sin m\pi \alpha_i$$

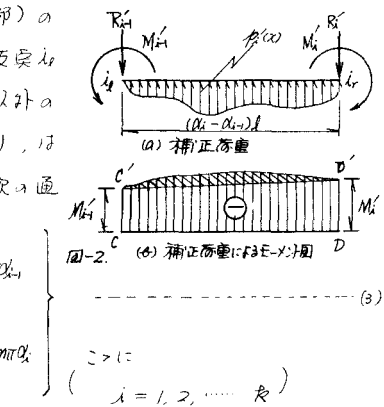
荷重  $\Delta$  と式(3)の補正荷重  $\Delta$  が同時に作用する場合の  $i$  区間の任意点  $x$  におけるモーメント  $M_x$  を求めれば  $M_x = \frac{M_A}{\omega_i}$  となる結果を得、式(3)の補正荷重が正しいことを知る。

(2) たわけおよびたわけ角 階段状変形面ばかりのたわけおよびたわけ角は荷重  $\Delta$  と式(3)の補正荷重が同時に作用する置換ばかりのたわけおよびたわけ角と等しい (図-3 参照)。荷重  $\Delta(x), M_A, M_B$  および各補正荷重を正弦 Fourier 波数展開式にて表せば以下のようである。

$$\{p_i(x)\}_{sf} = \sum_{m=1}^{\infty} p_m \sin \frac{m\pi}{l} x, \quad \{M_A\}_{sf} = \sum_{m=1}^{\infty} M_{Am} \sin \frac{m\pi}{l} x, \quad \{M_B\}_{sf} = \sum_{m=1}^{\infty} M_{Bm} \sin \frac{m\pi}{l} x$$

$$\{p_i(x)\}_{sp} = \sum_{m=1}^{\infty} p_m \sin \frac{m\pi}{l} x, \quad \{R'_i\}_{sp} = \sum_{m=1}^{\infty} A_{im} \sin \frac{m\pi}{l} x, \quad \{R''_i\}_{sp} = \sum_{m=1}^{\infty} A_{im} \sin \frac{m\pi}{l} x$$

$$\{M'_A\}_{sf} = \sum_{m=1}^{\infty} B_{Am} \sin \frac{m\pi}{l} x, \quad \{M'_B\}_{sf} = \sum_{m=1}^{\infty} B_{Bm} \sin \frac{m\pi}{l} x, \quad (i = 1, 2, \dots, k)$$



(ただし、 $\{ \}_{sp}$  は各力およびモーメントの正弦 Fourier 波数展開式であることを意味するもので、いわゆる [FL] の次元をもつ。)

$$i > 1: \quad p_{in} = (1 - \frac{1}{\omega_i}) \sum_{m=1}^{\infty} p_m I(m, n, i), \quad M_{in} = -\frac{2\pi\pi}{l^2} M_A, \quad M_{in} = -(-1)^n \frac{2\pi\pi}{l^2} M_B$$

$$A_{in} = (1 - \frac{1}{\omega_i}) \frac{2}{l} \sin m\pi \alpha_i \left\{ -\frac{1}{l} (M_A + M_B) + \sum_{m=1}^{\infty} \left( \frac{l}{m\pi} \right)^2 p_m \cos m\pi \alpha_{i-1} \right\}$$

$$A_{in} = (1 - \frac{1}{\omega_i}) \frac{2}{l} \sin m\pi \alpha_i \left\{ \frac{1}{l} (M_A + M_B) - \sum_{m=1}^{\infty} \left( \frac{l}{m\pi} \right)^2 p_m \cos m\pi \alpha_i \right\}$$

$$B_{in-1} = (1 - \frac{1}{\omega_i}) \frac{2\pi\pi}{l^2} \cos m\pi \alpha_i + M_A (1 - \alpha_{i+1}) - M_B \alpha_i + \sum_{m=1}^{\infty} \left( \frac{l}{m\pi} \right)^2 p_m \sin m\pi \alpha_{i+1}$$

$$B_{in} = -(1 - \frac{1}{\omega_i}) \frac{2\pi\pi}{l^2} \cos m\pi \alpha_i + M_A (1 - \alpha_i) - M_B \alpha_i + \sum_{m=1}^{\infty} \left( \frac{l}{m\pi} \right)^2 p_m \sin m\pi \alpha_i$$

$$I.(m, n, i) = \begin{cases} (m \neq n の場合) & \frac{2}{(m-n)\pi} \{ m(\cos m\pi \alpha_i \sin n\pi \alpha_i - \cos n\pi \alpha_i \sin m\pi \alpha_i) - n(\sin m\pi \alpha_i \cos n\pi \alpha_i \\ & - \sin n\pi \alpha_i \cos m\pi \alpha_i) \} \\ (m = n の場合) & \alpha_i - \alpha_{i+1} - \frac{1}{2\pi\pi} (\sin 2m\pi \alpha_i - \sin 2n\pi \alpha_{i+1}) \end{cases}$$

置換ばかりに作用する全荷重を  $\gamma(x)$  とすれば、 $\gamma(x)$  は式(4)の総和である次の式にて表せられる。

$$\gamma(x) = \sum_{n=1}^{\infty} \gamma_n \sin \frac{n\pi}{l} x \quad (4)$$

$$i > 1: \quad \gamma_n = p_n + \frac{2}{\omega_i} (1 - \frac{1}{\omega_i}) \sum_{m=1}^{\infty} p_m F(m, n, i) + \frac{H_{in}}{l^2} M_A + \frac{H_{in}}{l^2} M_B$$

$$F(m, n, i) = -I(m, n, i) + \frac{2}{m\pi} (\sin m\pi \alpha_i \cos n\pi \alpha_i - \sin n\pi \alpha_i \cos m\pi \alpha_i) - \frac{2\pi\pi}{m\pi} (\cos m\pi \alpha_i \sin m\pi \alpha_{i+1} - \cos n\pi \alpha_i \sin n\pi \alpha_{i+1})$$

$$H_{in} = 2\pi\pi (1 - \frac{1}{\omega_i}) [\sin m\pi \alpha_{i+1} \sin n\pi \alpha_i + \pi \{ (1 - \alpha_{i+1}) \cos m\pi \alpha_i - (1 - \alpha_i) \cos n\pi \alpha_i \}]$$

$$H_{in} = 2(-1)^n \pi (1 - \frac{1}{\omega_i}) [\sin m\pi \alpha_{i+1} - \sin n\pi \alpha_i - \pi \{ \alpha_{i+1} \cos m\pi \alpha_i - \alpha_i \cos n\pi \alpha_i \}]$$

両端単純支持の置換により、式(5)の荷重  $y(x)$  が作用する場合のアーチ曲線は文献(2)の式(10)に示すごとく次式によって与えられる。  

$$y = \frac{l^4}{EI_0\pi^4} \sum_{n=1}^{\infty} \frac{1}{n^2} B_n \sin \frac{n\pi}{l} x \quad (6)$$

すなはち、式(6)は图-1(a)に示す階段状変断面により成るアーチ曲線式である。すなはち、式(6)を微分すると、階段状変断面により成る任意座標におけるアーチ角  $\theta_x$  がえられ次式となる。

$$\theta_x = \frac{dy}{dx} = \frac{l^3}{EI_0\pi^4} \sum_{n=1}^{\infty} \frac{1}{n^3} B_n \cos \frac{n\pi}{l} x \quad (7)$$

(3) 計算例 図-4(a)に示すごとく、アーチ面区間より

図3)のT: ロケイ  $y$ , 式(6)より次の式となる。

$$y = \frac{l^4}{EI_0\pi^4} \sum_{n=1}^{\infty} \frac{1}{n^2} \left\{ P_0 + \frac{2}{\omega_1} \left( 1 - \frac{1}{\omega_1} \right) \sum_{m=1}^{\infty} P_m F(m, n, i) \right\} \sin \frac{n\pi}{l} x \quad (8)$$

同様のごとく、等分布荷重を半載する場合の  $P_0$  は次式で与えられる。  

$$P_0 = \frac{qP}{\pi^2} \sin^2 \frac{n\pi}{l} \quad (9)$$

各断面の断面二次モーメントに  $\omega_i$  が次式のごとき値をもつものとする。

$$\omega_2 = \omega_4 = \omega_6 = 1.0$$

$$\text{Case 1: } \omega_1 = \omega_3 = \omega_5 = \omega_7 = 1.0$$

$$\text{Case 2: } \omega_1 = \omega_7 = 2.0, \quad \omega_3 = \omega_5 = 1.5$$

$$\text{Case 3: } \omega_1 = \omega_3 = \omega_5 = \omega_7 = \infty$$

} (10)

式(9)を式(8)に代入し、かゝる(10)の諸値を用いて各断面のCase

におけるアーチ角  $y$  を求めれば図-4(b)に示すごとき結果となる。

### 3. アーチ角式

(1) アーチ角式の説明 図-1(a)に示すごとく、荷重  $p(x)$ ,  $M_A$  および  $M_B$  が作用する場合の階段状変断面により成る両端 A, B における接線角を  $\theta_A$ ,  $\theta_B$  とすれば、これらは式(7)に  $x=0$ ,  $l$  を代入することにより直ちに次式のごとくえられる。

$$\theta_A = \frac{1}{EI_0} \sum_{n=1}^{\infty} \left( \frac{l}{n\pi} \right)^3 B_n, \quad \theta_B = \frac{1}{EI_0} \sum_{n=1}^{\infty} (-1)^n \left( \frac{l}{n\pi} \right)^3 B_n \quad (11)$$

式(11)に式(5)の  $B_n$  を代入し、演算の上整理すれば  $M_A$ ,  $M_B$  に関する次の式を得る。

$$\begin{aligned} M_A \cdot D_{AA} - M_B \cdot D_{AB} &= \frac{EI_0\pi^3}{l} \theta_A - l^2 \sum_{n=1}^{\infty} \frac{1}{n^3} \left\{ P_0 + \sum_{m=1}^{\infty} \left( 1 - \frac{1}{\omega_1} \right) \sum_{k=1}^{\infty} P_m F(m, n, i) \right\} \\ - M_A \cdot D_{BA} + M_B \cdot D_{BB} &= \frac{EI_0\pi^3}{l} \theta_B - l^2 \sum_{n=1}^{\infty} \frac{(-1)^n}{n^3} \left\{ P_0 + \sum_{m=1}^{\infty} \left( 1 - \frac{1}{\omega_1} \right) \sum_{k=1}^{\infty} P_m F(m, n, i) \right\} \end{aligned} \quad (12)$$

したがって、  
 $D_{AA} = \sum_{n=1}^{\infty} \frac{H_{An}}{n^3}, \quad D_{AB} = - \sum_{n=1}^{\infty} \frac{H_{Bn}}{n^3}, \quad D_{BA} = - \sum_{n=1}^{\infty} \frac{(-1)^n H_{An}}{n^3}, \quad D_{BB} = \sum_{n=1}^{\infty} \frac{(-1)^n H_{Bn}}{n^3}$

階段状変断面により成る部材回転角を  $R$ , 両端 A, B におけるアーチ角  $\theta_A$ ,  $\theta_B$  とすれば、これらと  $D_{AA}$ ,  $D_{BB}$  の間に下式  $\theta_A = \theta_B - R$ ,  $\theta_B = \theta_A - R$  が成立する。このことを考慮して式(12)を連立して解き、端点に  $x=0$  における  $M_A$ ,  $M_B$  を求めれば、階段状変断面により成るアーチ角式が次の式と求められる。

$$\begin{aligned} M_{AB} &= \nu E K_0 \{ D_{BB} \theta_A + D_{AB} \theta_B - (D_{BB} + D_{AB}) R \} + C_{AB} \\ M_{BA} &= \nu E K_0 \{ D_{BA} \theta_A + D_{AA} \theta_B - (D_{BA} + D_{AA}) R \} + C_{BA} \end{aligned} \quad (13)$$

(ただし、慣用のごとく  $M_A = M_{AB}$ ,  $M_B = M_{BA}$  とせよ)

$$\therefore \nu = \pi^3 / (D_{AA} \cdot D_{BB} - D_{AB} \cdot D_{BA})$$

$$C_{AB} = \frac{-l^2}{D_{AA} D_{BB} - D_{AB} D_{BA}} \sum_{n=1}^{\infty} \frac{1}{n^3} \{ D_{BB} + (-1)^n D_{AB} \} \left\{ P_0 + \sum_{m=1}^{\infty} \left( 1 - \frac{1}{\omega_1} \right) \sum_{k=1}^{\infty} P_m F(m, n, i) \right\}$$

$$C_{BA} = \frac{-l^2}{D_{AA} D_{BB} - D_{AB} D_{BA}} \sum_{n=1}^{\infty} \frac{1}{n^3} \{ D_{BA} + (-1)^n D_{AB} \} \left\{ P_0 + \sum_{m=1}^{\infty} \left( 1 - \frac{1}{\omega_1} \right) \sum_{k=1}^{\infty} P_m F(m, n, i) \right\}$$

(2) 計算例 図-5(a)に示す一径向内型ラークスの解法を示す。図示のごとく

く、柱はばかりとの結合部側に以下の  $0.2l$  の剛域をもち、また、  
柱より下端における  $0.1l$  の剛域から上に  $0.2l$  の変断面  
区間を構成するところ、さらに、柱より等分布荷重を加半載され  
る場合とする。このとき、各部材のたわみ角式(13)より  
次の式が得られる。

$$M_{AB} = 0.8 \times (4.3970 \varphi_B + 9.4223 \psi)$$

$$M_{BC} = 0.8 \times (9.7066 \varphi_B + 14.1037 \psi)$$

$$M_{BC} = 12.8858 \varphi_B + 9.4540 \varphi_C - 0.08037 \rho l^2$$

$$M_{BC} = 9.4540 \varphi_B + 12.8858 \varphi_C + 0.02544 \rho l^2$$

$$V_{CD} = 0.8 \times (9.7066 \varphi_C + 14.1037 \psi)$$

$$M_{CD} = 0.8 \times (4.3970 \varphi_C + 9.4223 \psi)$$

$$\therefore \quad \varphi_B = EK_0 \theta_B, \quad \varphi_C = EK_0 \theta_C, \quad \psi = -EK_0 R$$

ラーメンの各節点方程式および頂方程式に式(4)を代入してえら

べる諸式を連立にして解く。すなはち式(18)が次のようである。

また、これら諸式を用いて各部材のモーメントを算出の上図示すれば図-5(a)の結果となる。

$$\varphi_B = 0.00590 \rho l^2 (0.01031 \rho l^2), \quad \varphi_C = -0.00355 \rho l^2 (-0.00572 \rho l^2)$$

$$\psi = -0.000705 \rho l^2 (-0.001149 \rho l^2)$$

(注) (1) 内部剛域および変断面区间の柱は同一種断面部材よりなりるラーメンの解であり、本題のラーメンの場合と比較対照した。

4. 往意形状変断面柱の近似解法 図-6に示す  
ように、柱の断面が往意形状に変化する場合にはこれを  
厳密に解くことは一般的には不可能である。しかし、柱

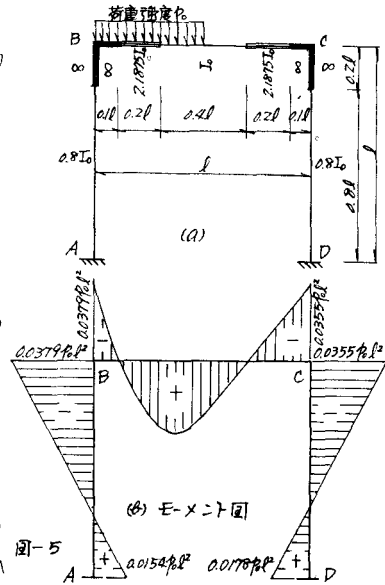


図-5

柱を適当に分割し、分割された各区間の断面を二次元メニットとし、各区間の平均断面に属する断面  
を二次モーメントを用いれば、階段状変断面柱に置き換えることにより、柱のたわみ角式(13)の近似解法を  
得る。

